

УТВЕРЖДО

Заместитель Министра морского  
технологического проекта

Л.П.Недяк

198 / г.

## ИЗВЕШЕНИЕ

о Дополнении № I "Норм технологического  
проектирования морских каналов"  
ВСН 19-70/ММР

Заместитель директора  
Совмморпроекта,  
д.т.н. В.Д.Костиков

И.о.главного инженера  
Совмморпроекта

Зам.директора  
Черноморпроекта, к.т.н.  
В.С.Зеленский

## 1. Пункт 4.1

а) формулу (6) заменить формулой

$$H_K = (T + \Delta T) + \sum Z_{0-3} \pm \Delta K$$

б) пояснение величин, входящих в формулу (6), дополнить:

$\Delta T$  - поправка на изменение осадки расчетного судна при плотности  $\gamma$  (солености, ‰) воды в районе проектируемого канала, отличающейся от стандартной  $\gamma = 1025 \text{ кг}/\text{м}^3$ , величина  $\Delta T$  определяется по табл. 7а.

Таблица 7а

Поправка осадки судна  $T$  на плотность воды

Плотность $\gamma, \text{кг}/\text{м}^3$	Соленость, ‰	$\Delta T, \text{м}$
1025	32	0,000 Т
1020	26	0,004 Т
1015	20	0,008 Т
1010	13	0,012 Т
1005	7	0,016 Т
1000	0	0,020 Т

Примечание. Грузовая шкала морских судов и их грузовой размер строятся в предположении, что судно плавает в воде стандартной плотности ( $\gamma = 1025 \text{ кг}/\text{м}^3$ ).

## 2. Пункт 4.3. Изложить в новой редакции:

Максимальный навигационный запас  $Z_1$  определяется по табл. 7 в зависимости от осадки судна  $T$  и вида грунта.

Таблица 7

Минимальный навигационный запас  $Z_1$ 

Грунт два в интервале между $H_H$ и $(H_H + 0,5)$ , м	$Z_1, \text{м}$
Ил	0,04 Т
Наносной грунт (песок залежанный, ракушка, гравий)	0,05 Т
Плотный слежавшийся грунт (песок, глина, супесь, суглинки, галька)	0,06 Т
Скальный грунт, валуны, скементированные породы – песчаники, известняки, мел и др.	0,07 Т

Примечания: 1. При неоднородных грунтах в интервале между  $H_H$

и  $(H_H + 0,5)$ , м в расчет принимается наиболее плотный грунт.

2. При плотном слежавшемся грунте, скальном грунте, грунте с включением валунов и скементированных породами дноуглубительные работы должны защищаться проверкой глубины гидрографических трапезием, о чем необходимо указывать в проектно-сметной документации.

3. Пункт 4.4. Изложить в новой редакции:

Балловый запас  $Z_2$ , м для одиночного и расходящегося судов определяется по графикам на рис. 2 и 2а в зависимости от высоты волны  $h$ , м, обеспеченностью 4% в режиме к 3% в системе волн наиболее спасного направления в районе судового хода, длины расчетного судна и числа Фруда ( $F_F = \frac{V}{\sqrt{gL}}$ ). Бертизна расчетного ветра принимается не более указанной в п.3.4.

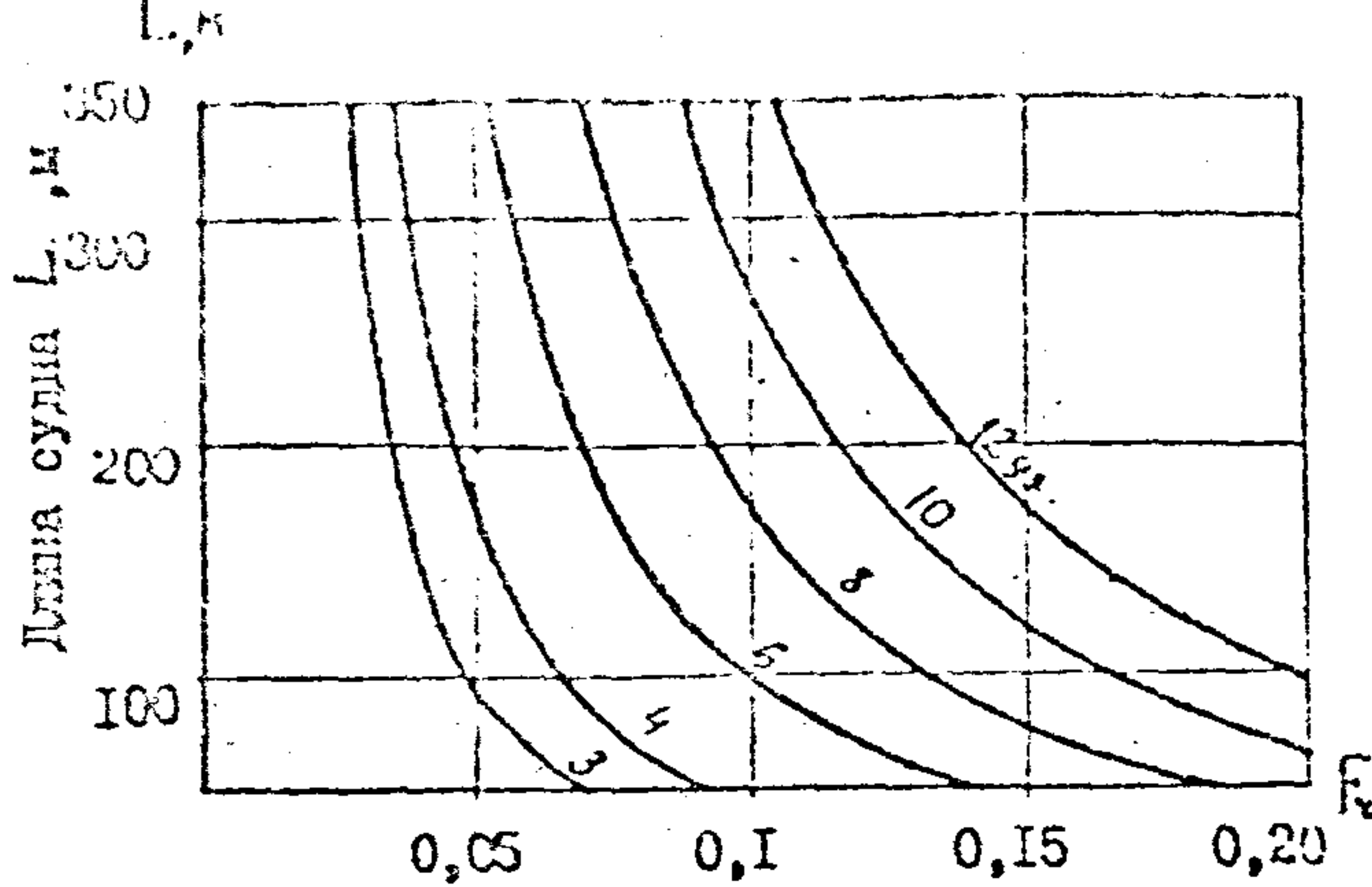


Рис. 2. Определение числа Фруда  $Fr$  по длине  $L$ , м и скорости  $V$ , уз. расчетного судна.

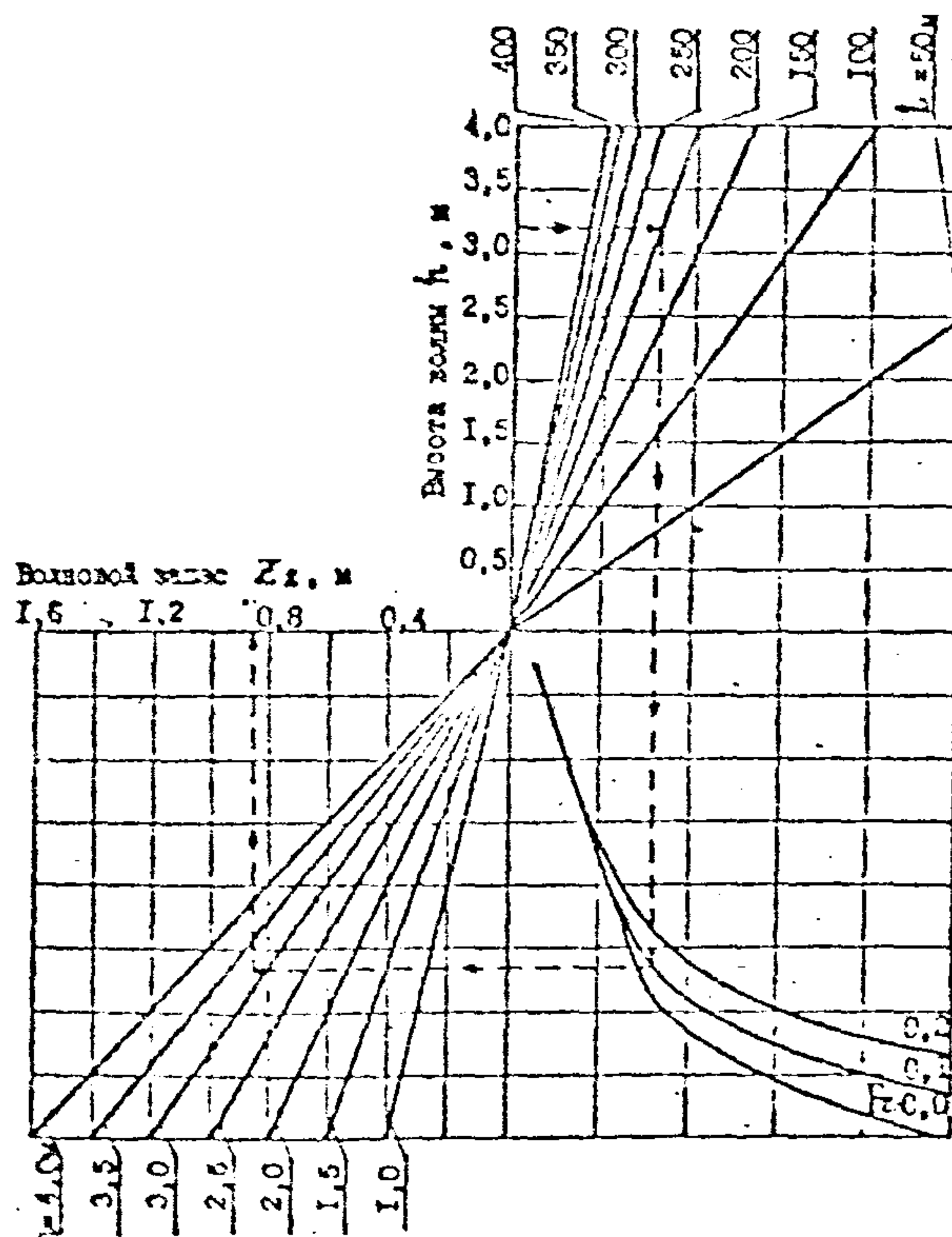


Рис. 2а. Определение волнового запаса  $Z_2$ , м по высоте волны  $h$ , длине расчетного судна  $L$ , числу Фруда  $Fr$  при курсовом угле волнения  $90^\circ$ .

В табл. 8 приводятся значения волнового запаса для различных величин  $L$  и  $h$  при  $Fr = 0,0; 0,1; 0,2$  и курсовом угле  $90^\circ$ .

Для промежуточных значений  $L$ ,  $h$ ,  $Fr$  необходимо производить линейное интерполирование.

Таблица 8

Волновой запас  $Z_2$ , м для расчетного (по осадке) судна при курсовом угле волнения  $90^\circ$

$Fr$	$L, m$	$h, m$						
		1,0	1,5	2,0	2,5	3,0	3,5	4,0
0,0	100	0,20	0,40	0,65	0,85	1,05	1,30	1,50
	150	0,10	0,25	0,50	0,75	0,95	1,15	1,35
	200	0,05	0,15	0,30	0,55	0,85	1,05	1,30
	250	0	0,10	0,25	0,45	0,65	0,90	1,15
	300	0	0,10	0,20	0,35	0,50	0,75	1,00
	350	0	0,05	0,10	0,20	0,40	0,55	0,90
	400	0	0,05	0,10	0,15	0,35	0,50	0,65
0,1	100	0,20	0,40	0,55	0,80	0,95	1,20	1,40
	150	0,10	0,25	0,45	0,70	0,90	1,05	1,25
	200	0,10	0,20	0,35	0,55	0,75	1,0	1,15
	250	0,05	0,15	0,25	0,45	0,65	0,85	1,05
	300	0	0,10	0,20	0,35	0,50	0,70	0,90
	350	0	0,10	0,15	0,30	0,40	0,60	0,80
	400	0	0,05	0,10	0,20	0,35	0,55	0,70
0,2	100	0,15	0,35	0,50	0,70	0,90	1,05	1,30
	150	0,10	0,25	0,40	0,60	0,80	0,95	1,10
	200	0,10	0,20	0,30	0,50	0,70	0,85	1,05
	250	0,05	0,15	0,25	0,40	0,60	0,75	0,95
	300	0,05	0,10	0,20	0,35	0,50	0,65	0,85
	350	0	0,10	0,20	0,30	0,40	0,55	0,70
	400	0	0,05	0,10	0,20	0,35	0,50	0,65

Примечание При курсовых углах волнения относительно оси канала, отличных от  $90^\circ$ ,  $Z_2$  выбирается из графиков Рис. II.1 приложения 3.

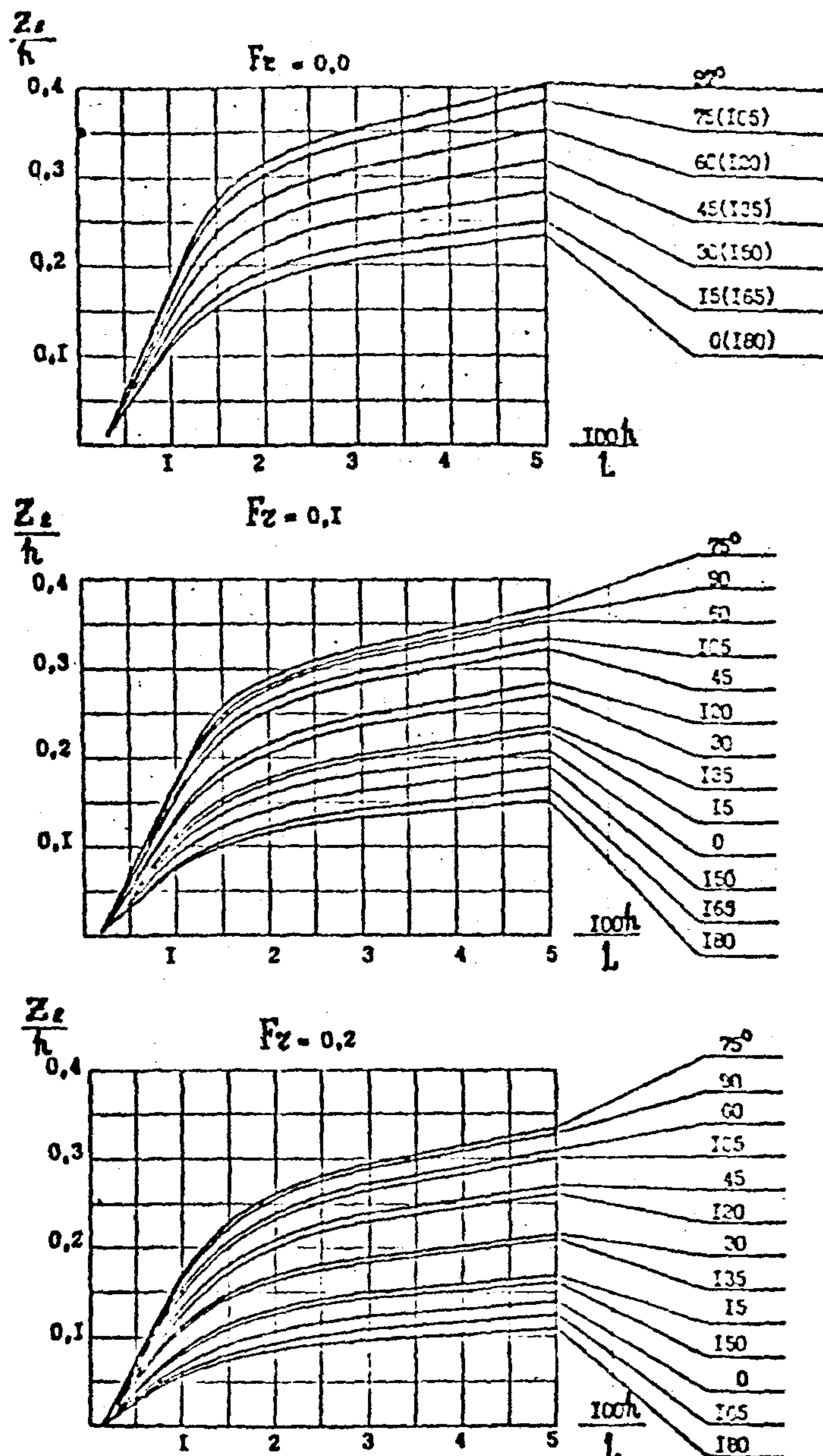


Рис.П.1. Определение волнового запаса  $Z_s$ , м при различных курсовых углах волнения и числах Фруда  $F_r = \frac{V}{\sqrt{gL}}$ .

4. Приложение 3. Пункт 10 изложить в следующей редакции:  
Для каждого колена каната рассчитывается минимальный набегающий запас в соответствии с табл. 7 п.4.3. Волновой запас выбирается по графикам рис. 2, 2а или из табл. 8 п.4.4. При необходимости пользуются графиками рис. П.1 приложения 3.

5. Приложение 3. Таблицу 7 изложить в следующей редакции:

Таблица 7.

		I колено			II колено		
		в нача- ле	в сере- дине	в кон- це	в на- чале	в сере- дине	в кон- це
Запас	$Z_1$						
Расчет запаса	$h$						
	$F_r$						
	$KU_s$						
	$Z_2$						

Примечание.  $KU_s$  - курсовой угол набегающей волны относительно оси колена каната.

7. Приложение З. Вестн рио.Н.И.

Спределение волнового запаса  $Z_2$ , м при различных курсовых углах всплытия и числах Фруда  $F_r = \frac{V}{\sqrt{gL}}$ .

Исполнители:

Черноморинпроект

Зав.НИИ морских каналов и  
докаев: Серегов, к.т.н.



Г. Мирониченко

Главный специалист по нормативно-техническим документам



И.С. Вульман

Руководитель группы исследования  
условий судоходства НИЛ ИКДБ



В.Т. Соколов

Младший научный сотрудник



Н.Л. Краснова

ОКНП

Зав. кафедрой теории корабля,  
к.т.н.



Ю.Л. Воробьев

Старший научный сотрудник, к.т.н.



Э.В. Коханов